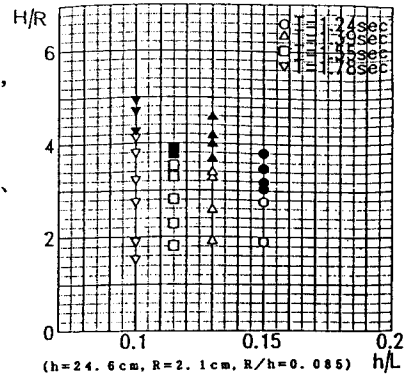


の滑動はほとんど無く安定した状態に入る、移動形態3；天端上のほとんどで水平滑動が生じるが大部分の列では滑動量が小さい、移動形態4；天端上のほとんどの列で顕著な水平滑動が生じ、特定のブロックは浮き上がり、飛散する場合もある。この分類は主にブロックの移動の時間経過に対する進行性に着目したもので、本研究では安定状態が崩れる移動形態3を実際的な安定限界と定義した。この定義に基づきブロックの安定限界波高を周期ごとに調べた。図-3に代表例を示す。この図から短周期の方が安定限界波高は小さくなるのがわかる。



黒塗り：移動形態3以上
図-3 ブロックの安定限界

5. 波力の時間波形：図-4は、代表例として天端上水深R=9.6cmのときの測点A, Gの結果を示す。図中にはブロックに作用する水平波力 (F_H) , ブロック真上での水平流速 (U_H) , 水平流速の数値時間微分により算出した加速度 ($\partial U_H / \partial t$) の時間波形がプロットしてある。また、水平流速、加速度が正のピーク値を示す時間位相を、それぞれ実線と破線で表示してある。この図から、水平波力には正のピークが2つあり、それぞれ加速度、流速に対応しているのがわかる。このことから、人工リーフ上では作用波力の特性の把握にモリソン式が適用できると考えられる。そして、A点~G点に移るにつれ正方向のピークが突出し、流速のピークと加速度のピークの間に見れる傾向があることから、天端上では法肩付近で慣性力が卓越し、波進行方向に移るに従い慣性力と抗力の割合が接近してくると考えられる。

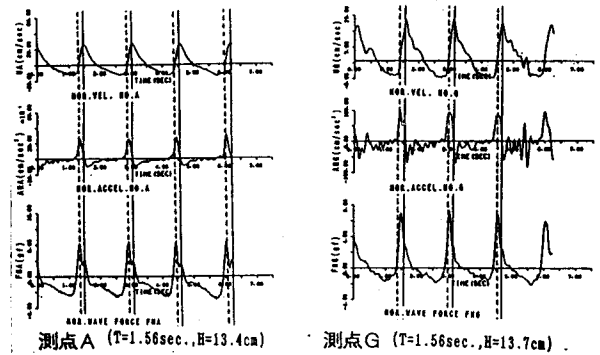


図-4 各測点における時間波形

6. 抗力と慣性力の卓越度：図-5は各天端上水深におけるA, G点の抗力と慣性力の比 F_{HD} / F_{HI} を、入射波高Hをブロックの高さD'で除した無次元波高比による変化で示したものである。この図より天端上では全体的に慣性力卓越が認められるが、波進行方向に移るにつれて、また、天端上水深が深くなるほど抗力と慣性力の割合は接近してくることなどがわかる。

7. 結語：(1)人工リーフの透過率は天端上水深と入射波高により特性が変化する。(2)被覆ブロックの安定限界波高は、短周期の場合ほど小さくなる。(3)移動を生じやすい天端上のブロックでは、主に慣性力が卓越することから、人工リーフ上の被覆ブロックの安定性を論じる上で、慣性力は重要な波力と言える。

<参考文献>

- 1) 宇多ら：土木研究所資料，第2696号，1989。
- 2) 宇多ら：土木研究所資料，第2893号，1990。

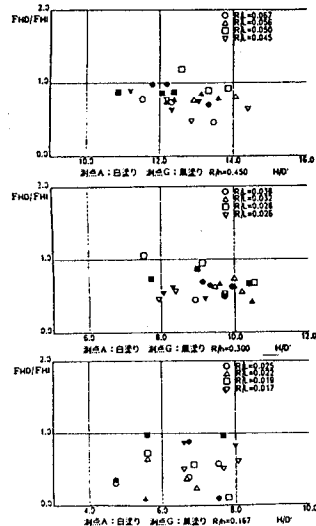


図-5 抗力と慣性力の卓越度